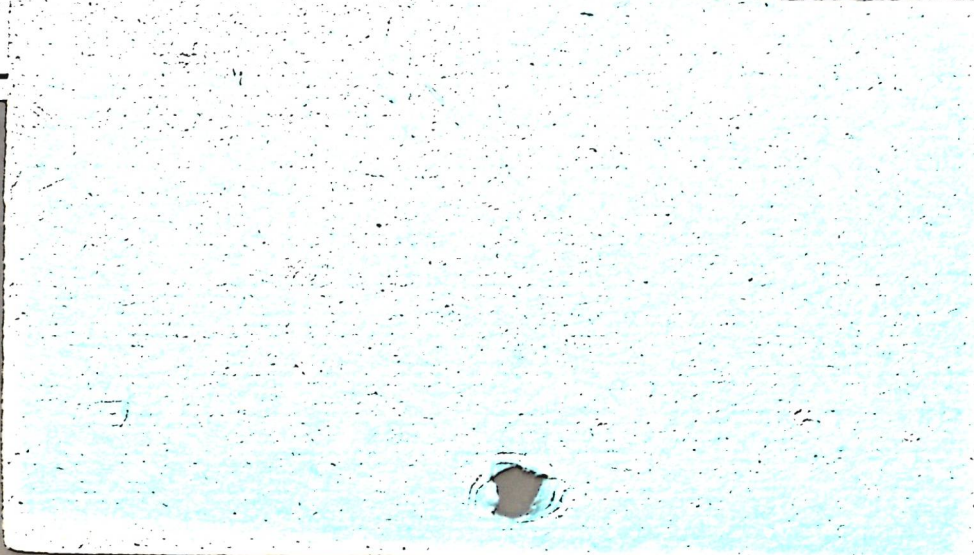


RR RUE-P



Ru PO₁₁

Burylev B. P.

1975

Ahf

Zh. Fiz. Khim. 49(10)

2671-3 (russ.)

(an RuO; I)



RuPx

1976

11 E645. Диаграмма состояния Ru—P. Черно-
горенко В. Б., Иванченко В. Г., Кулик Л. Я.
«Изв. АН СССР. Металлы», 1976, № 4, 176—177

Построена диаграмма состояния системы Ru—P. Методами ДТА, рентгеноструктурным металлографическим и определения микротвердости подтверждено существование трех фосфидов: Ru₂P, RuP и RuP₂. Первые два фосфида плавятся конгруэнтно при 1500 и 1555° С соответственно, RuP₂ разлагается при 950° С на RuP и газообразный Р. Равновесные эвтектич. жидкости содержат ~30 и ~41% Р. Т-ра плавления эвтектики Ru+Ru₂P 1480° С, эвтектики Ru₂P+RuP 1400° С. Ru не имеет полиморфных превращений. Он обладает анизотропией микротвердости.

Автореферат

фазовый
диагр.

93. 1976

N18

Ru₂P

RuP

(T_m)

1976

85: 131345u Ruthenium-phosphorus phase diagram. Chernogorenko, V. B.; Ivanchenko, V. G.; Kulik, L. Ya. (Kiev, USSR). *Izv. Akad. Nauk SSSR, Met.* 1976, (4), 176-7 (Russ); Metallog., x-ray diffraction, and DTA were used to study the phase compn. of as-cast and annealed Ru-P alloys contg. $\leq 50\%$ P. The alloys were melted from purified Ru and Ru phosphides in an arc furnace in Ar. These methods confirmed the presence of Ru:P, RuP, and RuP₂ (Biltz W. et al., 1938) but no other phases could be detected. Three invariant transformations occur in the system: a peritectic ($\text{RuP}_2 \rightleftharpoons \text{RuP} + \text{P}$) and 2 eutectic reactions (liq. $\rightleftharpoons \text{RuP} + \text{Ru}_2\text{P}$ and liq. $\rightleftharpoons \text{Ru} + \text{Ru}_2\text{P}$) at 950, 1400, and 1480°, resp. Ru₂P and RuP melt congruently at 1500 and 1555°, resp., but in Ar, RuP₂ dissociates into RuP and gaseous P. Thermal anal. at $\leq 2350^\circ$ revealed no thermal effects indicating the absence of polymorphic transitions for Ru. The exptl. data were used to plot the Ru-P phase diagram.

C. A. 1976 85 n 18

RuP₂
IrP₂

Синтез
и характеристика
фосфидов

(+) □

17 Б460. Синтез и характеристика фосфидов платиновых металлов: RuP₂ и IrP₂. Капег R., Castro C. A., Gruska R. P., Wold A. Preparation and characterization of the platinum metal phosphides RuP₂ and IrP₂. «Mater. Res. Bull.», 1977, 12, № 12, 1143—1147 (англ.)

Осуществлен синтез (взаимодействием элементов во флюсе при т-ре 1200° с послед. отмыванием флюса горячей конц. HCl), рентгенографич. (метод порошка, дифрактометр), оптич., электрич. и магнитное исследование соединений RuP₂ (I) и IrP₂ (II). Для I найдена ромбич. решетка с параметрами: a 5,115 Å, b 5,888, c 2,870, ρ (изм.) 6,24, ρ (выч.) 6,26; для II — монокл. решетка с параметрами: a 5,746, b 5,791, c 5,851, β 111,60°, ρ (изм.) 9,27, ρ (выч.) 9,32. По оптич. данным величина краевого поглощения составляет 0,8 для I и 1,1 эв для II. Анализ т-рных зависимостей электрич. и магнитных характеристик показал, что оба соединения являются диамагнитными полупроводниками *n*-типа в случае I и *p*-типа в случае II. Величина практически независимой от т-ры (60—300° K) магнитной восприимчивости составляет $-63 \cdot 10^{-6}$ для I и $-61 \cdot 10^{-6}$ для II.

С. В. Соболева

2: 1943, N 17

1988

*RuP₄**OsP₄*

8 Б422. О полифосфах хрома, марганца, рутения и осмия. Синтез и кристаллическая структура RuP₄ и OsP₄. Braun D. J., Jeitschko W. Über Polyphosphate von Chrom, Mangan, Ruthenium und Osmium. Synthese und Kristallstruktur von RuP₄ und OsP₄. «Z. anorg. und allg. Chem.», 1978, 445, № 8, 157—166 (нем.; рез. англ.)

Осуществлен синтез (взаимодействием элементов в присутствии J₂, выполняющего роль минерализатора, в диапазоне т-р 850—1200° К; выращивание кристаллов проведено из расплава в жидк. олове) и рентгенографич. исследование (метод порошка) соединений RuP₄ (I) и OsP₄ (II). Установлена изоструктурность I и II и определены параметры трикл. решеток: I a 7,519, b 7,145, c 4,713 Å, α 100,48, β 90,35, γ 111,08°, ρ(выч.) 4,84; II a 7,540, b 7,153, c 4,718 Å, α 100,38, β 90,34, γ 111,20°; Z=3, ф. гр. P1. Определение структуры выполнено для I (методы Вейссберга, прецессии и дифрактометра, МНК, анизотропное приближение, R=0,049 для 3532 отражений). Структура I представляет

(+)

(x)

Х-1044, № 3

собой новый структурный тип. Атомы Ru находятся в октаэдрич. окружении из атомов P (Ru—P 2,316—2,403 Å). Атомы P имеют тетраэдрич. координацию из 2 атомов Ru и 2 атомов P, или из одного атома Ru и 3 атомов P (P—P 2,158—2,290 Å). Октаэдры вокруг Ru соединяются вершинами и ребрами (Ru—Ru, через общее ребро октаэдра 3,64 Å) в слои, параллельные плоскости *ab*. Атомы Ru при этом располагаются примерно по закону примитивной гексагон. упаковки. Отмечается, что в др. тетрафосфидах — CrP₄, FeP₄, MnP₄ атомы металла также находятся в октаэдрич. координации, однако способ сочленения октаэдров в структурах зависит от электронной конфигурации катиона. Атомы Ru в I характеризуются конфигурацией d^6 и, соотв., двухвалентным состоянием. Приведены значения $I_{\text{r}} \cdot d(hkl)$ рентгенограммы порошка II. С. В. Соболева

RuP₃

1987

15 Б2020. Химия и структурная химия фосфидов и полифосфидов. Сообщение 43. Трифосфид трехвалентного рутения RuP₃: получение, кристаллическая структура и свойства. Chemistry and structural chemistry of phosphides and polyphosphides. 43. Ruthenium(III) triphosphide RuP₃: preparation, crystal structure and properties. Höne W., Kremer R., Schnering H. G. «Z. Kristallogr.», 1987, 179, № 1—4, 443—453 (англ.)

Методом РСТА ($R = 0,039$, $R_w = 0,048$) изучено строение трикл. RuP₃ (I), полученного из элементов в расплаве фосфida Sn при 1270 К и имеющего $a = 592,4$, $b = 821,3$, $c = 586,6$ пм, $\alpha = 112,35^\circ$, $\beta = 107,41^\circ$, $\gamma = 98,19^\circ$, $Z = 4$, ρ (выч.) 5,347, ф. гр. $\bar{P}1$. Основу структуры составляют одномерные полинионы $[(P^0P^{2-})_4(P^{1-})_4]_{\infty}^{12-}$, параллельные [112], образующие цепочки, аналогичные Re_2P_5 , но с отличной конформацией. Атомы P имеют полиэдр в форме тетраэдра, образованный 3P+Ru, 2P+2Ru или P+3Ru, P—P 218,0—223,4, Ru—P 228,1—240,4 пм. Ато-

структур

X. 1988, 19, N 15

мы Ru имеют октаэдрич. координацию $[Ru_{(1)}P_{3/3}^{2-}P_{1/1}^{1-}P_{2/1}^0]$ и $[Ru_{(2)}P_{3/3}^{2-}P_{3/2}^{1-}]$, причем октаэдры через общие ребра связаны в группы Ru_2P_{10} , $Ru-Ru$ 279,5 и 286,9 пм указывают на связи металл—металл, существуемые за счет неспаренных электронов Ru, находящегося в низко-спиновом d^5 -состоянии, что согласуется с диамагнетизмом I, характеризующегося χ (мол.) — $81,5 \cdot 10^{-6}$ эл. магн. ед. моль $^{-1}$. Методом ТГА и ДТА установлено, что при нагревании в вакууме I переходит последовательно в RuP_2 , RuP и смесь Ru_2P+Ru . Сообщение 42 см. Mangiquez V. et al., Zanorg. Allgem. Chem., 1986, 539, 95.

М. Б. Варфоломеев

